

**МЕХАНИКА  
ТВЕРДОГО ТЕЛА**  
**№ 4 · 1979**

УДК 539.3

**К ТЕОРИИ НЕЛИНЕЙНЫХ ВОЛН ДЕФОРМАЦИИ  
В НЕОДНОРОДНОЙ СРЕДЕ**

Ю. К. ЭНГЕЛЬБРЕХТ

(Таллин)

Представляется асимптотический анализ одномерного переходного волнового процесса в нелинейной неоднородной среде. На базе идеи лучевого метода выводятся уравнения переноса первого порядка с соблюдением связности волн. Для отдельной волны исследуется влияние эффектов нелинейности и неоднородности и определяются основные закономерности процесса. Выводятся уравнения переноса для процессов в нелинейной вязкоупругой среде, в круглом стержне с переменным поперечным сечением и в однородной среде с начальной деформацией. Анализ безразмерных параметров позволяет оценить влияние отдельных эффектов. Представлены численные примеры решения уравнений переноса при разных амплитудах и частотах волн.

Для исследования линейных переходных волновых процессов в неоднородной среде обычно применяется лучевой метод [1]. В последнее время возрос интерес к процессам в нелинейной неоднородной среде, особенно к таким случаям, когда эффекты искажения волн, обусловленные нелинейностью и неоднородностью одного и того же порядка. Такие явления исследованы для звуковых волн, волн в плазме и волн в мелкой воде [2, 3], а также для звуковых импульсов в неоднородном океане [4]. В данной работе исследуются волновые процессы деформации в твердой среде с использованием разработанного в [5] алгоритма.

**1. Основные уравнения.** Одномерный переходный волновой процесс деформации в неоднородной среде описывается матричным уравнением

$$I \frac{\partial \mathbf{U}}{\partial t} + A \frac{\partial \mathbf{U}}{\partial x} + \sum_{p=2} B_{rs} \frac{\partial^p \mathbf{U}}{\partial x^r \partial t^s} + K \frac{\partial \mathbf{F}}{\partial x} + \mathbf{C} = 0 \quad (1.1)$$

Здесь  $\mathbf{U}$  — вектор неизвестных полевых величин  $u_i$ ,  $i=1, \dots, n$ ;  $I$  — единичная матрица,  $F$  — известный вектор,  $A(x, \mathbf{U})$ ,  $B_{rs}(x, \mathbf{U})$ ,  $K(x, \mathbf{U})$  — переменные матрицы-коэффициенты,  $C(x, \mathbf{U})$  — вектор, который может содержать и интегральные операторы. Уравнение (1.1) является уравнением смешанного типа. Так как в общем случае выполняется  $B_{rs} \sim O(\varepsilon)$ , где  $\varepsilon$  — малый параметр, то главная часть уравнения (1.1) является гиперболической.

Исследуем асимптотическое решение  $\mathbf{U} = \sum \varepsilon^i \mathbf{U}_i$  уравнения (1.1) с граничными условиями

$$\mathbf{U}(x, t)|_{t=0} = 0, \quad \mathbf{U}(x, t)|_{x=0} = \Phi(t) [H(t) - H(t-t_0)]$$

где  $H(t)$  — функция Хевисайда,  $t_0$  — продолжительность импульса, а малый параметр  $\varepsilon$  связан с амплитудой краевого условия.

Для решения этой задачи применяем алгоритм [4], который в нелинейной постановке ведет к построению уравнений переноса вдоль определенных из ассоциированного гиперболического уравнения бихарктеристик. Считаем, что выполняются все требования относительно зависимых переменных и коэффициентов уравнения (1.1), представленные в [4], основ-

ным из которых является условие разложения в ряд по малому параметру  $\varepsilon$ . Нулевой индекс далее обозначает первый член разложения, причем  $A_0 = A_0(x)$ ,  $B_{0rs} = \text{const}$ ,  $C_0 = 0$ . Тогда ассоциированное уравнение с учетом предположения  $F \sim O(\varepsilon)$

$$I \frac{\partial \mathbf{U}_0}{\partial t} + A_0 \frac{\partial \mathbf{U}_0}{\partial x} = 0$$

определяет скорости  $\lambda_i$  отдельных простых волн. Выбирая новые независимые переменные в виде

$$\xi_j = t - \int_0^x (\lambda_j(x))^{-1} dx, \quad \tau = \varepsilon x \quad (1.2)$$

получим из уравнения (1.1) в первом приближении

$$\sum_j^n (I - \lambda_j^{-1} A_0) \frac{\partial \mathbf{U}_0}{\partial \xi_j} = 0$$

из которого вытекает

$$\mathbf{U}_0 = \sum_i^n \alpha_i(\xi_i, \tau) \mathbf{r}_i \quad (1.3)$$

Здесь и далее  $\mathbf{l}_i$ ,  $\mathbf{r}_i$  — левый и правый собственные векторы матрицы  $A_0$  при  $\lambda = \lambda_i$ , а  $\alpha_i$  — амплитудный фактор. Подчеркиваем, что новое переменное  $\xi_j$  имеет пространственно-временной характер. Если неоднородность проявляется слабо, то имеем  $\lambda_j = \lambda_{0j} + O(\varepsilon)$ ,  $\lambda_{0j} = \text{const}$  и взамен преобразования (1.2) справедливо также

$$\xi_j = \lambda_{0j} t - x, \quad \tau = \varepsilon x \quad (1.4)$$

которое приводит к этому же соотношению (1.3). Полученный результат (1.3) свидетельствует о том, что в основу метода взято разложение по простым волнам. Пусть имеем  $m$  взаимодействующих волн. Чтобы облегчить выкладки, построим уравнения переноса для случая слабой неоднородности (1.4), принимая  $\tau_n = \varepsilon x_n$ ,  $x_n = x$ ,  $n=1, 3, \dots$ ;  $x_n = -(x-x_0)$ ,  $n=2, 4, \dots$  Здесь нечетные  $n$  обозначают волны, идущие в сторону роста координаты  $x$  (направо), а четные  $n$  — волны, идущие в сторону убывания координаты  $x$  (налево). Уравнение переноса первого порядка в этом случае для каждой  $i$ -й волны принимает вид

$$a_{i0} \frac{\partial \alpha_i}{\partial \tau_n} + \sum_j^m a_{ij} \frac{\partial \alpha_j}{\partial \xi_j} + \sum_{p=2}^m \frac{\partial^p \alpha_i}{\partial \xi_i^p} + \sum_j^m f(\alpha_j, \tau_n) = 0 \quad (1.5)$$

$$a_{i0} = (-1)^{n+1} \mathbf{l}_i A_0 \mathbf{r}_i = (-1)^{n+1} \lambda_i, \quad a_{ij} = -\mathbf{l}_i A_{ij} \mathbf{r}_j$$

$$a_{2p} = -\lambda_i^{-1} \mathbf{l}_i B_{0rs} \mathbf{r}_i, \quad f(\alpha_j, \tau_n) = \mathbf{l}_i C_1(\mathbf{r}_j) \alpha_j - \lambda_i^{-1} \mathbf{l}_i K_0 \frac{\partial \mathbf{F}_0}{\partial \xi_j}$$

Структура уравнения (1.5) показывает, что определенная  $i$ -я волна зависит и от других  $j$ -х волн ( $j \neq i$ ), для которых выполняется  $a_{ij} \neq 0$ . Оно решается при начальном условии

$$\alpha_i(\xi_i, \tau_n) |_{\tau_n=0} = \mathbf{l}_i \Phi(\xi_i) [H(\xi_i) - H(\xi_i - \xi_0)]$$

Без учета взаимодействия отдельных волн амплитудный фактор  $\alpha_i$   $i$ -й волны  $U_0 = \alpha_i r_i$ , идущей направо, определяется из уравнения

$$\frac{\partial \alpha_i}{\partial \tau_1} + a(\alpha_i, \tau_1) \frac{\partial \alpha_i}{\partial \xi_i} + \sum_{p=2} a_{2p} \frac{\partial^p \alpha_i}{\partial \xi_i^p} + f(\alpha_i, \tau_1) = 0 \quad (1.6)$$

$$a(\alpha_i, \tau_1) = -\lambda_i^2 l_i A_1(\alpha_i, \tau_1 \varepsilon^{-1}) r_i, \quad a_{2p} = -\lambda_i^{-2} l_i B_{0rs} r_i$$

$$f(\alpha_i, \tau) = \lambda_i^{-4} l_i C_1(r_i) \alpha_i - \lambda_i^{-2} l_i K_0 \frac{\partial F_0}{\partial \xi_i}$$

Если справедливо разложение  $A_1 = A_{11}(U) + A_{12}(x)$ , то имеем

$$a(\alpha_i, \tau) = a_1 \alpha_i + a(\tau_1). \quad (1.7)$$

$$a_1 = -\lambda_i^{-2} l_i A_{11}(r_i) r_i, \quad a(\tau_1) = -\lambda_i^{-2} l_i A_{12}(\tau_1 \varepsilon^{-1}) r_i$$

Уравнение переноса первого порядка (1.6) для определенной  $i$ -й волны позволяет учесть одновременно эффекты нелинейности и неоднородности для одной определенной волны. Тип уравнений (1.5), (1.6) зависит от наличия высших производных. В простейшем случае наличия только эффектов нелинейности и неоднородности они являются гиперболическими, имея вид

$$\frac{\partial \alpha_i}{\partial \tau_1} + (a_1 \alpha_i + a(\tau_1)) \frac{\partial \alpha_i}{\partial \xi_i} + f(\alpha_i) = 0 \quad (1.8)$$

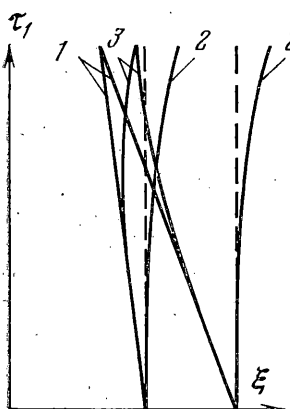
Основной результат такого подхода заключается в том, что уравнения переноса (1.5) способны описать связанные волны. Из структуры соотношения (1.7) вытекает, что связанность обусловлена как нелинейными эффектами (члены типа  $a_i \alpha_j \partial \alpha_k / \partial \xi_h$ ), так и неоднородностью среды (члены типа  $a(\tau_n) \cdot \partial \alpha_h / \partial \xi_h$ ), которая возникает и в линейной постановке задач. Учет предположения, что нелинейные эффекты и эффекты, обусловленные неоднородностью, одного и того же порядка, позволяет провести сравнительный анализ указанных эффектов.

Далее в рамках данной статьи будет изучена именно эта проблема.

Рассмотрим коротко основные выводы на базе общих уравнений переноса. Так как характеристическое направление в случае (1.7) определяется соотношением  $d\xi_i/d\tau_1 = a_1 \alpha_i + a(\tau_1)$  то вполне ясно, что поведение характеристик (наклоны) по сравнению со случаем линейной однородной среды ( $d\xi_i/d\tau_1 = 0$ ) зависит от вклада обоих эффектов. При выполнении условия  $|a_1 \alpha_i| > |a(\tau_1)|$  доминирует нелинейность, и наклоны характеристик качественно соответствуют случаю в чисто нелинейной среде.

При выполнении условия  $|a_1 \alpha_i| < |a(\tau_1)|$  доминирует эффект неоднородности, и наклоны характеристик качественно соответствуют случаю в чисто неоднородной среде. Условие  $a(\tau_1) = -a_1 \alpha_i$  может выполняться лишь в определенной точке  $\xi^*$ ,  $\tau^*$  и асимптотически справедливо в окрестности этой точки. Это условие покажет спроведливость линейной однородной модели, т. е. характеристики в этом случае параллельны оси  $\tau_1$ . Необходимо подчеркнуть, что возникновение разрыва зависит качественно только от нелинейности среды. Эффекты неоднородности, однако, могут изменить время возникновения разрыва, но пространственная координата при этом не изменяется.

На фиг. 1 представлена схема характеристик уравнения (1.8) на плоскости  $\xi$ ,  $\tau_1$ . Пунктирной линией обозначены характеристики в случае линейной неоднородной среды, сплошные линии соответствуют случаю нелинейной (кривые 1), неоднородной (кривые 2) и нелинейной неоднородной (кривые 3) сред. Схема соответствует случаю  $|a_1 \alpha_i| > |a(\tau_1)|$ . Отметим, что качественное поведение характеристик может



Фиг. 1

быть различным в пределах одного импульса, так как наклоны характеристик зависят от амплитуды.

Если в уравнении переноса учитываются диссипативные эффекты, то возникновение ударного профиля управляет теми же правилами, что и возникновение ударной волны [6]. Например, в случае модели Кельвина-Фойгта имеем в уравнении (1.4)  $r=s=1$  и  $a_{22}=-\lambda_1^2 B_{011} r_i$ . Из этого следует, что при возрастании скорости  $\lambda_i$  в ходе развития процесса диссипативные эффекты уменьшаются, а при уменьшении скорости  $\lambda_i$  — увеличиваются.

**2. Конкретные модели. 1. Одномерная сплошная среда.** Исходной принимаем модель нелинейной вязкоупругой среды

$$[T_{11}(1+U_{1,1})]_{,1}-\rho U_{1,1}=0$$

$$T_{11}=T_{11}^E+T_{11}^D, \quad T_{11}^D=(\eta_1+\frac{1}{3}\eta_2)U_{1,1}$$

$$T_{11}^E=(\lambda+2\mu)U_{1,1}+[1/2\lambda+\mu+3(v_1+v_2+v_3)]U_{1,1}^2$$

где  $T_{11}$  — компонент тензора напряжения;  $U_1$  — перемещение;  $\lambda$ ,  $\mu$  — параметры Лямэ;  $v_i$ ,  $i=1, 2, 3$  — модули упругости третьего порядка;  $\eta_1$ ,  $\eta_2$  — коэффициенты вязкости,  $\rho$  — плотность в недеформированном состоянии. Здесь и далее запятая означает дифференцирование по пространственной координате, точка — по времени.

Предполагаем, что параметры Лямэ и плотность являются функциями от пространственной координаты, остальные показатели среды постоянны. Без потери общности считаем, что эти зависимости — медленно изменяющиеся функции, так что справедливо

$$\lambda+2\mu=(\lambda_0+2\mu_0)(1+\varepsilon f_1(x)), \quad \rho=\rho_0(1+\varepsilon h_1(x))$$

где нулевой индекс обозначает значение указанного параметра в определенной точке, например при  $x=0$ , а  $\varepsilon$  — малый параметр.

Из этих соотношений вытекает

$$c^2=c_0^2(1+\varepsilon g_1(x)), \quad g_1(x)=f_1(x)-h_1(x)$$

Предполагаем, что  $f_1(x)$ ,  $h_1(x)$  являются гладкими функциями; они удовлетворяют условиям  $f_1(0)=h_1(0)=0$  и обладают производными требуемого порядка. Окончательная система получит тогда форму (1.1), в которой

$$A=\begin{vmatrix} 0 & -c_0^2[1+3(1+m_0)u_2+\varepsilon g_1(x)] \\ -4 & 0 \end{vmatrix}, \quad B_{11}=\begin{vmatrix} 0 & -n_0 \\ 0 & 0 \end{vmatrix},$$

$$K=\begin{vmatrix} -c_0^2u_2 & 0 \\ 0 & 0 \end{vmatrix}, \quad U=\begin{vmatrix} U_1 \\ U_{1,1} \end{vmatrix}, \quad F=\begin{vmatrix} 1+\varepsilon f_1(x) \\ 0 \end{vmatrix}$$

$$m_0=2(v_1+v_2+v_3)(\lambda_0+2\mu_0)^{-1}, \quad n_0=(\eta_1+\frac{1}{3}\eta_2)\rho_0^{-1}$$

Так как в этом случае неоднородность проявляется слабо, можно использовать преобразование (1.4), и уравнение переноса первого порядка для продольной волны без учета связности записывается в виде (индексы у переменных опущены)

$$\frac{\partial \alpha}{\partial \tau} + \left[ -\frac{1}{2}c_0^{-1}g_1(x) + \frac{3}{2}(\varepsilon c_0)^{-1}(1+m_0)\alpha \right] \frac{\partial \alpha}{\partial \xi} -$$

$$-\frac{1}{2}n_0(\varepsilon c_0)^{-1} \frac{\partial^2 \alpha}{\partial \xi^2} + \frac{1}{2} \frac{\partial f_1}{\partial x} \alpha = 0$$

Используя безразмерные переменные  $\beta = \alpha \alpha_0^{-1}$ ,  $\sigma = a_1 \alpha_0 \tau \tau_c^{-1}$ ,  $\xi = \xi \tau_c^{-1}$ ,  $a_1 = \frac{3}{2} |1+m_0| (\varepsilon c_0)^{-1}$ , получим более компактную запись уравнения переноса

$$\frac{\partial \beta}{\partial \sigma} + \text{sign}(1+m_0) \beta \frac{\partial \beta}{\partial \xi} - \Theta(\sigma) \frac{\partial \beta}{\partial \xi} + \Lambda \beta = \Gamma^{-1} \frac{\partial^2 \beta}{\partial \xi^2} \quad (2.1)$$

$$\Gamma = 3 |1+m_0| \alpha_0 \tau_c n_0^{-1}, \quad \Lambda = \frac{\varepsilon \tau_c c_0}{3 |1+m_0| \alpha_0} \frac{\partial f_1}{\partial x}$$

$$\Theta(\sigma) = \frac{\varepsilon c_0}{3 |1+m_0| \alpha_0} g_1 \left( \frac{2 \tau_c c_0 \sigma}{3 |1+m_0| \alpha_0} \right)$$

Здесь  $\alpha_0$  — максимальная амплитуда,  $\tau_c$  — характерная длина импульса в единицах длины.

Отметим, что гидродинамическая модель в неоднородной среде при тех же предпосылках ведет к уравнению переноса (где  $\gamma$  — адиабата)

$$\frac{\partial \beta}{\partial \sigma} - \beta \frac{\partial \beta}{\partial \xi} - \Theta(\sigma) \frac{\partial \beta}{\partial \xi} = \Gamma^{-1} \frac{\partial^2 \beta}{\partial \xi^2}$$

$$\Gamma = (\gamma+1) \alpha_0 \tau_c n_0^{-1}, \quad \Theta(\sigma) = \frac{2 \varepsilon c_0}{(\gamma+1) \alpha_0} g_1 \left( \frac{\tau_c c_0 \sigma}{(\gamma+1) \alpha_0} \right)$$

Структура уравнений переноса и их коэффициентов позволяет сразу получить некоторые сведения о волновом процессе. Прежде всего отметим, что параметр  $\Gamma$ , характеризующий относительный вклад нелинейных и диссипативных эффектов, называется акустическим числом Рейнольдса, а параметры  $\Theta(\sigma)$ ,  $\Lambda$  характеризуют влияние неоднородности. При этом  $\Theta(\sigma)$  характеризует сдвиг действительного фронта волн относительно фронта в однородной среде, а  $\Lambda$  — изменение амплитуды, аналогичное эффекту сферического или цилиндрического расхождения (схождения). Необходимо подчеркнуть, что существование члена  $\Lambda \beta$  в уравнении переноса — основное различие между гидродинамической моделью и моделью твердой среды.

Аналогично анализу п. 1 можно заключить, что если модули упругости увеличиваются (уменьшаются) в направлении распространения волны сжатия, то качественные изменения наклонов характеристик, обусловленные неоднородностью и нелинейностью, имеют одинаковый (противоположный) характер. Характер параметра  $\Lambda$  говорит о том, что влияние неоднородности больше для импульсов с меньшей частотой и меньшей амплитудой.

Пусть для конкретности имеем  $g_1(x) = kx$ ,  $x = \text{const}$ . Тогда  $\Theta(\sigma) = \Theta_1 \varepsilon / k \sigma$ ,  $\Theta_1 = \frac{2}{9} c_0^2 \tau_c (1+m_0)^{-2} \alpha_0^{-2}$ . Анализ коэффициента  $\Theta_1$  приводит к выводу, что изменение амплитуды влияет на значение  $\Theta_1$  больше, чем изменение частоты импульсов. Координата  $\tau^*$ , определяющая точку равновесия между эффектами нелинейности и неоднородности по формуле  $\tau^* = 3 |1+m_0| \alpha_0 (c_0 k)^{-1}$ , зависит только от амплитуды импульса и не зависит от частоты.

*2. Круглый стержень с переменным поперечным сечением.* Уравнение движения в этом случае можно принимать в традиционном виде

$$[S T_{33} (1+U_{3,3})]_{,3} - \rho_0 S U_3^{''} = 0$$

где  $S = S(x_3)$  — поперечное сечение и ось  $x_3$  совпадает с продольной осью стержня. Учитывая поправку Рэлея относительно поперечной инерции, вязкость и нелинейность, имеем

$$T_{33} = E_0 U_{3,3} + \frac{3}{2} E_0 (1+m_0) U_{3,3}^2 + \eta U_{3,3} + \frac{1}{2} \rho_0 v^2 R^2 U_{3,3}^{''}$$

где  $E_0$  — модуль упругости второго порядка,  $m_0$  — соотношение модулей упругости третьего и второго порядков,  $\eta$  — коэффициент вязкости,  $v$  — число Пуассона,  $R$  — радиус стержня.

Пусть  $S=S_0(1+\epsilon f(x_3))^m$ , где  $m$  — действительное число,  $S_0$  — поперечное сечение при определенном  $x_3$ , например при  $x_3=0$ ,  $f(x_3)$  — гладкая функция,  $f(0)=0$ .

Уравнение переноса первого порядка в безразмерных переменных получит вид

$$\frac{\partial \beta}{\partial \sigma} + \text{sign}(1+m_0)\beta \frac{\partial \beta}{\partial \xi} - \Omega^{-2} \frac{\partial^3 \beta}{\partial \xi^3} + \Lambda \beta = \Gamma^{-1} \frac{\partial^2 \beta}{\partial \xi^2} \quad (2.2)$$

$$\Gamma = 3|1+m_0|\tau_c \alpha_0 n_0^{-1} \left(1 - l_0^2 \epsilon c_0 n_0^{-1} m \frac{\partial f}{\partial x_3}\right)^{-1}$$

$$\Omega^2 = 3|1+m_0|\tau_c \alpha_0 l_0^{-2} c_0^{-1}, l_0^2 = 1/2 v^2 R_0^2$$

$$\Lambda = 1/3 c_0 m \alpha_0^{-1} |1+m_0|^{-1} \frac{\partial f}{\partial x_3}, \quad n_0 = \eta_0^{-1}$$

Здесь  $l_0$  — масштабный параметр,  $\Omega$  — параметр дисперсии. Уравнение (2.2) — один модифицированный вариант уравнения Бюргерса — Кортевега — де Бриза, учитывающий, кроме диссипации и дисперсии, и эффекты, обусловленные изменением поперечного сечения стержня. Из линеаризованного варианта основного уравнения вытекает дисперсионное соотношение для гармонической волны частотой  $\omega$ :

$$\omega^2 \left(1 + i \epsilon l_0^2 m \frac{\partial f}{\partial x_3} k + l_0^2 k^2\right) = c_0^2 k^2 \left(1 - i \epsilon m \frac{\partial f}{\partial x_3} k^{-1} - i n_0 c_0^{-2} \Omega\right)$$

где  $k$  — волновое число. Кроме дисперсии геометрического характера из-за поправки Рэлея (член  $l_0^2 k^2$ ) здесь оказывает влияние изменение поперечно-го сечения в качестве мнимой дисперсии.

Возникновение ударного профиля по нелинейной модели не зависит от формы поперечного сечения стержня. Изменения в амплитуде, однако, существенные, и качественный характер этих изменений зависит от увеличения или уменьшения поперечного сечения в направлении распространения волны.

3. Однородная среда с начальной деформацией. Пусть в неоднородной бездиссипативной среде существует начальное напряжение  $T_{11}^0$ , которое соответствует деформации  $U_{1,1}^0$ . Уравнение движения приобретает тогда вид [7]:

$$[T_{11}(1+U_{1,1}^0+U_{1,1})+T_{11}^0 U_{1,1}]_{,1}-\rho_0 U_{1,1}^{''}=0$$

Уравнение переноса первого порядка, следуя изложенной выше процедуре, записывается в безразмерных переменных в виде

$$\frac{\partial \beta}{\partial \sigma} + \text{sign}(1+m_0)\beta \frac{\partial \beta}{\partial \xi} - \Theta(\sigma) \frac{\partial \beta}{\partial \xi} + \Lambda \beta = 0 \quad (2.3)$$

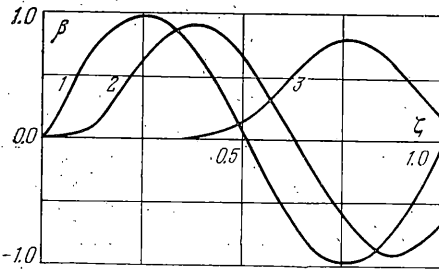
$$\Theta(\sigma) = c_0 \alpha_0^{-1} U_{1,1}^0, \quad \Lambda = c_0 \alpha_0^{-1} U_{1,11}^0$$

Так как характеристическое направление уравнения (2.3) определяется соотношением  $d\xi/d\sigma = \text{sign}(1+m_0)\beta - \Theta(\sigma)$ , то уравнение (2.3) гиперболическое и справедливы общие закономерности неоднородного процесса, изложенные в п. 1. С физической точки зрения  $\Theta(\sigma)$  представляет собой соотношение начальной деформации к максимальной погонной деформации. Из структуры этого параметра вытекает, что влияние начальной деформации более существенно для волн с меньшей амплитудой.

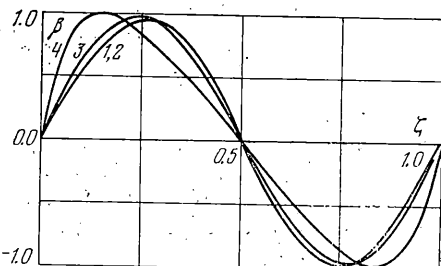
Изменение амплитуды импульса в предварительно деформированной среде учитывается членом  $\Lambda\beta$  в уравнении (2.3). При увеличении частоты коэффициент  $\Lambda$  уменьшается, при  $U_{1,1}^0 = \text{const}$  получим  $\Lambda=0$ .

**3. Численные результаты.** Для иллюстрации представим здесь некоторые результаты численного интегрирования уравнения переноса (2.1) методом конечных разностей второго порядка точности. Во всех примерах показатели среды изменились по линейному закону.

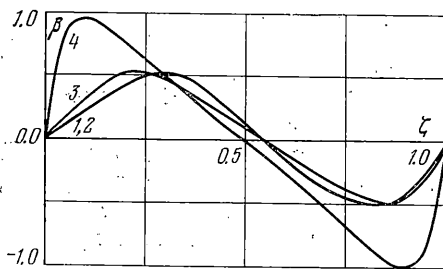
Расчеты проведены для алюминия:  $c_0 = 6.3 \cdot 10^5 \text{ см с}^{-1}$ ,  $n_0 = 7.0 \cdot 10^3 \text{ см}^2 \text{с}^{-1}$ ,  $m_0 = 9.2$ ,  $g_1(x) = f_1(x) = ekx$ ,  $ek = \pm 10^{-4} \text{ см}^{-1}$ . Начальное условие в безразмерных переменных



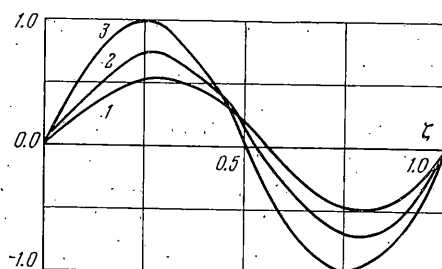
Фиг. 2



Фиг. 3



Фиг. 4



Фиг. 5

было принято в виде синусоидального импульса

$$\beta|_{\sigma=0} = \sin 2\pi\zeta [H(\zeta) - H(\zeta+1)].$$

За основу сопоставления результатов, если не указано отдельно, принято  $x=115$  см. Начальная амплитуда и частота указаны далее отдельно для каждого примера. Сдвиг импульса в среде с уменьшением модуля упругости относительно фронта линейной волны в однородной среде ( $\zeta=0$ ) показан на фиг. 2 для волны частотой  $10^4$  Гц и амплитудой  $\alpha_0=5.625 \text{ см с}^{-1}$  (кривая 1 соответствует  $x=1$  см — практическое начало процесса; кривая 2 —  $x=500$  см; кривая 3 —  $x=1000$  см). Так как амплитуда импульса мала, то влияние нелинейности незаметно. При больших амплитудах влияние нелинейности становится существенным.

На фиг. 3 представлены графики для частоты  $10^4$  Гц (кривая 1 —  $\alpha_0=5.625 \text{ см с}^{-1}$ ; кривая 2 —  $\alpha_0=5.625 \cdot 10 \text{ см с}^{-1}$ ; кривая 3 —  $\alpha_0=5.625 \cdot 10^2 \text{ см с}^{-1}$ ; кривая 4 —  $\alpha_0=5.625 \cdot 10^3 \text{ см с}^{-1}$ ).

На фиг. 4 представлены графики для частоты  $10^5$  Гц (обозначения см. на фиг. 3). Кривая 4 на фиг. 4 соответствует импульсу, для основной части которого выполняется условие  $|a_1\beta| > |a(t)|$ , поэтому поведение импульса резко отличается от других импульсов той же частоты, но меньшей амплитудой.

На фиг. 5 показаны профили импульсов с амплитудой  $\alpha_0=5.625 \cdot 10 \text{ см с}^{-1}$  (кривая 1 —  $10^5$  Гц, кривая 2 —  $7 \cdot 10^4$  Гц, кривая 3 —  $10^4$  Гц). Диссипация является существенной для высших частот.

## ЛИТЕРАТУРА

1. Бабич В. М., Булдырев В. С. Асимптотические методы в задачах дифракции коротких волн. М., «Наука», 1972.
2. Asano N. Reductive perturbation method for non-linear wave propagation in inhomogeneous media. III. J. Phys. Soc. Japan, 1970, vol. 29, No. 1, p. 220–224.
3. Asano N. Wave propagation in non-uniform media. Suppl. Progr. Theor. Phys., 1974, No. 55, p. 52–79.
4. Пелиновский Е. Н., Петухов Ю. В., Соустова И. А., Фридман В. Е. Распространение и дифракция звуковых импульсов в неоднородном океане. Матер. симпоз. «Нелинейные волны деформации», ч. 2. Таллин, АН Эст. ССР, 1978.
5. Энгельбрехт Ю. К. О теории нелинейных волновых процессов в диссипативной среде. Изв. АН СССР. МТТ, 1977, № 2.
6. Bland D. R. On shock structure in a solid. J. Inst. Maths. and Appl., 1965, vol. 1, No. 1, p. 56–75.
7. Гузь А. Н., Махорт Ф. Г., Гуца О. И. Введение в акустоупругость. Киев, «Наукова думка», 1977.